

تخمین پارامترهای الکتریکی موتورهای القایی به کمک شبکه‌های عصبی و استفاده از آن در مدلسازی بارهای صنعتی

غلامرضا یوسفی* و حسین سیفی**

گروه برق، دانشکده مهندسی دانشگاه تربیت مدرس

(دریافت مقاله: ۱۱/۲۹ - ۷۶/۷/۶ - دریافت نسخه نهایی: ۷۹/۷/۶)

چکیده - در مطالعات سیستم قدرت از مدل بارها استفاده می‌شود. بسته به نوع مطالعه و زمان و دقت مورد نظر، مدل استفاده شده ممکن است مدلی استاتیکی یا دینامیکی باشد. به لحاظ وسعت و پیچیدگی شبکه قدرت، به طور معمول از مدل‌های استاتیکی بارها استفاده می‌شود. مدل استاتیکی، توابعی جبری بر حسب ولتاژ و فرکانس است که باید قادر باشد تا حدامکان، مقدار و میزان تغییرات توان حقیقی و راکتیو یک بار (یا بار یک شین) را بر حسب تغییرات ولتاژ و فرکانس بیان کند. در این تحقیق از روش مدلسازی بر مبنای اجزای بار استفاده شده است که با استفاده از ضرایب حساسیت توان حقیقی و راکتیو اجزای بار نسبت به ولتاژ و فرکانس و میزان مشارکت هر جزء بار در مصرف، مدل استاتیکی ترکیبی از بارها به دست می‌آید. موتورهای، به خصوص موتورهای القایی درصد بزرگی از بارهای صنعتی را به خود اختصاص می‌دهند و ارائه یک مدل استاتیکی مناسب برای آنها منجر به ارائه مدل استاتیکی توکیبی هرچه دقیق‌تر برای کل بار صنعتی می‌شود. در این خصوص از شبکه‌های عصبی استفاده شده است.

Induction Motor Electric Parameters Estimation Using Artificial Neural Networks and its Application in Industrial Load Modeling

G. R. Yousefi and H. Seifi

Department of Electrical Engineering, School of Engineering, Tarbiat Modarres University

ABSTRACT- *Load modeling is widely used in power system studies. Two types of modeling, namely, static and dynamic, are employed. The current industrial practice is the static modeling. Static models are algebraic equations of active and reactive power changes in terms of voltage and frequency deviations. In this paper, a component based on static modeling is employed in which the aggregate model is derived based on the sensitivity coefficients and participation factors of load components. As an induction motor comprises a significant portion of industrial loads, Artificial Neural Network (ANN) is employed to derive its static model readily from nameplate data as accurately as possible.*

*- دانشجوی دکترا **- استاد

۱- مقدمه

موجود برای سایر اجزا (از قبیل روش‌نایی، سردکننده‌ها و ...)، مدل استاتیکی ترکیبی شین صنعتی به دست خواهد آمد. ساختار مقاله به صورت زیر است: در ابتدا مدلسازی استاتیکی ترکیبی بارها مروز خواهد شد، سپس جایگاه شبکه عصبی بیان می‌شود، در ادامه پیاده‌سازی شبکه عصبی ارائه می‌شود و مدل ترکیبی برای موتورهای القایی یک شین صنعتی مطرح می‌شود. مدل استاتیکی ترکیبی برای بار یک شین صنعتی و نیز نتیجه‌گیری کلی در نهایت بیان خواهد شد.

۲- مدلسازی استاتیکی ترکیبی بارها

هدف، به دست آوردن مدل استاتیکی یک شین مصرف صنعتی است که ترکیبی از اجزای بار مختلف است. در این مقاله، برای به دست آوردن مدل ترکیبی، فرضیات زیر لحاظ شده است:

الف - تجهیزات و اجزای مختلف، تأثیری بر عملکرد همدیگر ندارند و به صورت پارالل به شین تغذیه متصل‌اند.

ب - تلفات سیستم توزیع مدل نمی‌شود.

ج - سیستم، سه فاز متقارن فرض می‌شود.

د - بارهایی که به طور پیوسته در مدار هستند مدل می‌شوند، بارهای مخصوص (ترموستاتی، کوره‌ها و...) در مدلسازی وارد نمی‌شود.

برای ترکیب بارهای موجود در شین، مدل کلی زیر برای توان حقیقی و راکتیو در نظر گرفته می‌شود [۹۸]:

$$\frac{P}{P_0} = P_{a1} \cdot V^{np1} \cdot (1 + b_p \cdot \Delta f) + P_{a2} \cdot V^{np2} \quad (1)$$

$$\frac{Q}{Q_0} = Q_a \cdot V^{nq} \cdot (1 + b_q \cdot \Delta f) \quad (2)$$

می‌توان نشان داد [۴۰-۵۰] که معادله‌های (۱) و (۲) به ترتیب از معادله‌های زیر تعیین می‌شوند:

$$P_{a1} = \sum_{i=1}^m N_i \quad (3)$$

(m = تعداد اجزایی که توان حقیقی آنها وابسته به فرکانس است)

$$P_{a2} = \sum_{i=m+1}^k N_i \quad (k = \text{تعداد کل اجزا}) \quad (4)$$

عملکرد پایدار یک سیستم قدرت، وابسته به میزان همبستگی دائمی، بین تولید و مصرف در سیستم است؛ بنابراین شناسایی بارهای سیستم و مشخصات این بارها و ارزیابی رفتار آنها در شرایط مختلف کاری، نقش مهمی را در بررسی پایداری سیستم ایفا می‌کند. در مطالعهٔ پخش بار - که پایه‌ای ترین مطالعه سیستم قدرت است از توابع جبری بر حسب ولتاژ و فرکانس، به عنوان مدل بار استفاده می‌شود. به طور کلی جنبه‌های مختلف مطالعات سیستم و نیز امکانات فنی موجود، تعیین‌کنندهٔ توانایی و دقت مدلسازی بارهای سیستم قدرت است. به طور کلی تاکنون، در انجام مدلسازی استاتیکی دو روش «مبتنی بر اندازه‌گیری» و «مبتنی بر اجزای بار» استفاده شده است. روش اول کمتر مورد استفاده قرار می‌گیرد، چرا که به نصب پستهای مختلف اندازه‌گیری نیاز دارد. هزینهٔ بالا و مشکلات اجرایی روش، باعث شده است که کمتر از آن استفاده شود. در این تحقیق از روش «مدلسازی استاتیکی مبتنی بر اجزای بار» استفاده شده است. می‌توان گفت اولین تحقیقات در این زمینه در سال ۱۹۷۹ مدون شد [۳-۱]. در این تحقیقات، بیشتر به انجام آزمون روی تجهیزات و بارهای مختلف موجود در سیستم قدرت پرداخته شده است. در ادامه این تحقیقات و در راستای مدلسازی مجموعهٔ بارها، در سال ۱۹۸۷ مجموعه‌ای از مطالعات توسط EPRI به چاپ رسید [۷-۴].

در تحقیقات مبتنی بر مطالعات EPRI برای به دست آوردن مدل استاتیکی بار یک شین صنعتی، داده‌های هر یک از اجزای بار شامل ضریب قدرت و ضرایب حساسیت توان حقیقی و راکتیو نسبت به ولتاژ و فرکانس مورد نیاز است. در خصوص جزء اصلی بارهای صنعتی، یعنی موتورهای القایی، برای به دست آوردن این داده‌ها از پارامترهایی از قبیل جریان راهاندازی و یا نسبت گشتاور راهاندازی به گشتاور نامی استفاده می‌شود که در عمل این گونه پارامترها در صنایع به ندرت موجود است و یا اندازه‌گیری عملی آنها مشکل و گاهی ناممکن است. از این رو در این مقاله از روشی نو ایستفاده می‌شود که به کمک شبکه‌های عصبی و تنها با استفاده از پارامترهای معمولی موتورهای القایی از قبیل ولتاژ، فرکانس، ضریب قدرت و بازده، ضرایب حساسیت توان حقیقی و راکتیو آنها نسبت به ولتاژ و فرکانس به دست می‌آید. با استفاده از ضرایب

$m =$ تعداد جزء وابسته به فرکانس موجود در باس
 $k =$ تعداد کل اجزای متصل شده به باس
 $P_{oi} =$ توان حقیقی مصرفی جزء i ام در ولتاژ و فرکانس نامی
 $Q_{oi} =$ توان راکتیو مصرفی جزء i ام در ولتاژ و فرکانس نامی
 $P_i =$ توان حقیقی مصرفی جزء i ام در ولتاژ V و فرکانس f
 $Q_i =$ توان راکتیو مصرفی جزء i ام در ولتاژ V و فرکانس f
 $N_i =$ سهم توان حقیقی جزء i ام نسبت به کل توان حقیقی تجمعی
 $N_i \triangleq \frac{P_{oi}}{P_o}$ $i = 1, \dots, k$
 $n_i = \frac{\partial P_i / \partial V}{P_{oi}}$ $i = 1, \dots, k$
 $Q_a = \sum_{i=1}^k N_i \cdot \tan [\cos^{-1}(pf_i)]$
 $nq = \frac{1}{Q_a} \cdot \left[\sum_{i=1}^k N_i \cdot Q_{vi} \cdot \tan [\cos^{-1}(pf_i)] \right]$, $Q_{vi} = \frac{\partial Q_i / \partial V}{Q_{oi} / V_0}$
 $b_p = \frac{\sum_{i=1}^k N_i \cdot b_{pi}}{P_{a1}}$, $b_{pi} = \frac{\partial P_i / \partial f}{P_{oi}}$
 $b_q = \frac{\sum_{i=1}^k N_i \cdot b_{pi} \cdot \tan [\cos^{-1}(pf_i)]}{Q_a}$
 $P =$ کل توان حقیقی تجمعی شین
 $Q =$ کل توان راکتیو تجمعی شین
 $P_0 =$ توان حقیقی شین، در ولتاژ و فرکانس نامی
 $Q_0 =$ توان راکتیو شین، در ولتاژ و فرکانس نامی
 $np_1 =$ ضریب حساسیت تجمعی توان حقیقی نسبت به ولتاژ
 $(\text{قسمت وابسته به فرکانس})$
 $np_2 =$ ضریب حساسیت تجمعی توان حقیقی نسبت به ولتاژ
 $(\text{قسمت مستقل از فرکانس})$
 $b_p =$ ضریب حساسیت تجمعی توان حقیقی نسبت به فرکانس
 $nq =$ ضریب حساسیت توان راکتیو نسبت به ولتاژ
 $b_q =$ ضریب حساسیت تجمعی توان راکتیو نسبت به فرکانس
 $V =$ ولتاژ (پریونیت)
 $\Delta f =$ تغییر فرکانس از فرکانس نامی (پریونیت)

جدول ۱ - مقادیر ضریب حساسیت پیش فرض در مطالعات EPRI

$\partial P / \partial V$	$\partial Q / \partial V$	$\partial P / \partial f$	$\partial Q / \partial f$	نوع بار
۰/۰۸۸۳	۲/۵۱	۰/۹۸۰	-۱/۳۱۹	تهویه سه فاز
۰/۲۰۲	۲/۳۰	۰/۹۰۱	-۲/۶۷	تهویه تک فاز
۰/۴۶۸	۲/۴۶	۰/۵۶۳	-۲/۸۱	تهویه پنجره‌ای
۱/۵۶۶	۲/۳۹	۰/۵۱۲	-۱/۱۶۵	داکت هیتر
۲/۰	۰/۰	۰/۰	۰/۰	آبگرمکن، اجاق
۲/۰۴	۳/۲۷	۰/۰	-۲/۶۳	لباس خشککن
۰/۷۶۹	۲/۵۰	۰/۵۳۱	-۱/۴۵۹	یخچال و فریزر
۱/۰۵۲	۰/۰	۰/۰	۰/۰	لامپ رشته‌ای
۰/۹۶۲	۷/۳۸	۱/۰	-۲/۶۶	لامپ فلورسنت

دسترس است، اما وضعیت در خصوص داده‌هایی از قبیل جریان راهاندازی و یا نسبت گشتاور راهاندازی به گشتاور نامی این گونه نیست. در این مقاله، به کمک شبکه‌های عصبی، مطابق با شکل (۱) مشکل حل شده است. اطلاعات پلاک موتور پس از عبور از بلوك A که یک شبکه عصبی است به اطلاعات کامل (شامل ولتاژ، فرکانس، بازده، سرعت، ضریب قدرت، جریان راهاندازی و نسبت گشتاور راهاندازی به گشتاور نامی) تبدیل می‌شود. سپس در بلوك B براساس مطالعات مرجع [۱۰] و با استفاده از داده‌ها، پارامترهای الکتریکی (R_s , X_{ls} , X_{lr} و R_t) تعیین شده و به دنبال در بلوك C، ضرایب حساسیت مشخص می‌شوند. در ادامه با استفاده از روندی که در بخش (۲) ارائه شد، مدل ترکیبی موتورها و سپس مدل ترکیبی بار صنعتی تعیین می‌شود.

۴- پیاده سازی شبکه عصبی

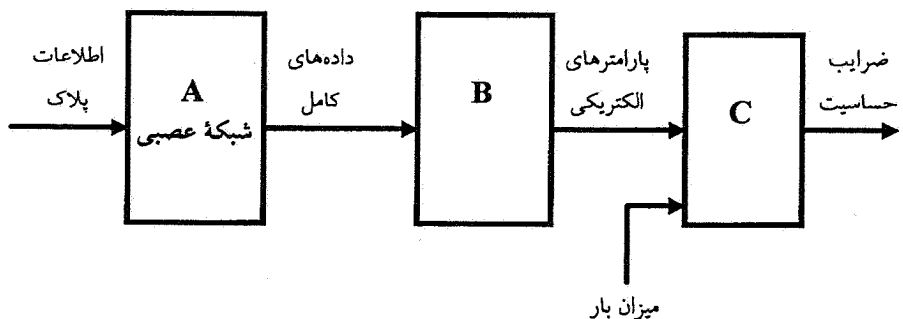
در این تحقیق از شبکه عصبی با مدل انتشار به عقب استفاده شده است. چنین شبکه‌ای می‌تواند شامل چندین لایه یادگیرنده باشد و «وزنها» در تمام لایه‌ها قابل تغییر باشند و در فرایند یادگیری تعیین می‌شوند. چنین شبکه عصبی قادر است هر نگاشتی (خطی یا غیرخطی) بین دو بردار m و n بعدی را با دقت خوبی اجرا کند [۱۱-۱۴] و در این تحقیق با استفاده از شبکه عصبی با دو لایه میانی و مدل انتشار به عقب، دقت مورد نظر برآورده شد. در آزمایش‌های انجام شده، از اطلاعات موتورهای موجود در

۳- جایگاه شبکه عصبی در تحقیق انجام شده

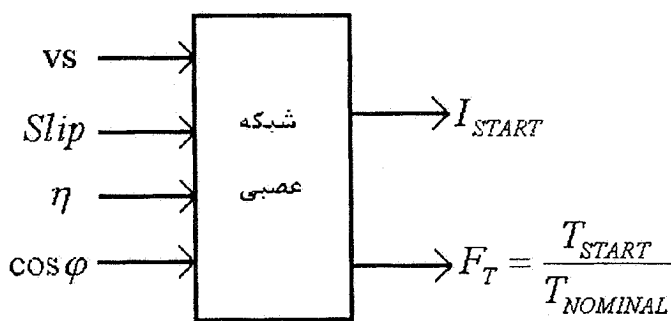
همان گونه که اشاره شد، برای به دست آوردن مدل ترکیبی بار یک شین صنعتی، ضریب حساسیت اجزای بار باید معلوم باشد. از آنجا که موتورهای القایی درصد عمدتی از بارهای صنعتی را تشکیل می‌دهند، لازم است ابتدا با روشهای مناسب و دقیق، این ضریب را برای هر موتور و سپس برای ترکیب موتورها به دست آورد. در عین حال روش یاد شده باید فقط به داده‌های معمولی برای محاسبات نیاز داشته باشد.

دو راه برای تعیین ضریب حساسیت موتورهای القایی وجود دارد. یک راه، «انجام آزمون بر روی موتورها» و انجام اندازه‌گیری در محدوده تغییرات ولتاژ و فرکانس مورد نظر و بدست آوردن توابعی برای توان حقیقی و راکتیو موتورها از روی نقاط به دست آمده و بالاخره تعیین ضریب حساسیت از روی این توابع است. روشی است که انجام آزمایش‌های بالا مشکلات عملی بسیاری به دنبال دارد و در برخی موارد ناممکن است.

راه دوم که عملی‌تر است، تعیین ضریب حساسیت موتورها با استفاده از پارامترهای الکتریکی موتورها (R_s , X_{ls} , X_{lr} و R_t) و شرایط فیزیکی حاکم بر کار موتورهای است. پارامترهای الکتریکی موتورها را می‌توان با استفاده از مقادیر داده‌هایی شامل ولتاژ، فرکانس، بازده، سرعت، ضریب قدرت، جریان راهاندازی و نسبت گشتاور راهاندازی به گشتاور نامی تعیین کرد [۱۰]. بدینهی است گرچه داده‌هایی از قبیل ولتاژ یا فرکانس کار، به سهولت در



شکل ۱. جایگاه شبکه عصبی در تعیین مدل استاتیکی موتورهای القایی



شکل ۲- شبکه عصبی اولیه پیشنهادی

مقادیر خروجی، در الگوهای یادگیری، نرم‌الیزه شدند. برای اطلاع از میزان یادگیری شبکه، از rms بردار خطاهای خروجی شبکه استفاده شده است [۱۲]:

$$\text{Error} = \sqrt{\frac{1}{P} \cdot \sum_{i=1}^P \left[(y_{1i} - y_{d1i})^2 + (y_{2i} - y_{d2i})^2 \right]} \quad (12)$$

در معادله بالا y_{1i} و y_{2i} خروجیهای محاسبه شده در قبال الگوی y_{d1i} و y_{d2i} مقدیر مطلوب خروجی در قبال الگوی i ام است و y_{d1i} و y_{d2i} مقدیر مطلوب خروجی در قبال الگوی i ام است. P تعداد الگو و Error بیانگر میزان خطای محاسبه شده است. همچنین در روند آموزش، میزان خطای برای هر الگو نیز محاسبه می‌شود تا بتوان دریافت کدام یک از الگوهای بیشترین خطای را ایجاد می‌کند.

عمل آموزش با تعداد مختلفی از نمونه‌ها در دو لایه میانی صورت گرفت و توابع مختلفی برای آموزش شبکه و تعیین ممتنم انتخاب شد که هیچ یک نتوانستند خطای را تا میزان قابل قبولی کم کنند. شکل (۳) نمایش تغییرات خطای برای یک شبکه انتشار به

نرم‌افزار Motor Master⁺ [۱۵] استفاده شده است. این نرم‌افزار، اطلاعات بیش از ۱۰ هزار موتور القایی از ۱۸ کارخانه موتور سازی غربی و شرقی را در قدرتهای بین ۱ تا ۴۰۰ اسب بخار (در ۲۵ محدوده) و در ولتاژهای بین ۲۲۰ تا ۴۰۰۰ ولت (در ۹ ولتاژ) و در سرعتهای ۹۰۰، ۱۲۰۰، ۱۸۰۰ و ۳۶۰۰ دور بر دقیقه داراست؛ این نرم‌افزار براساس استاندارد NEMA تهیه شده است. در این مقاله، موتورهای یاد شده، براساس قدرت خروجی‌شان، دسته‌بندی شده و در الگوهای آموزشی مورد استفاده واقع شده‌اند. این کار به منظور فراهم آوردن امکان یادگیری شبکه با خطای مطلوب است، چراکه در غیراین صورت، با توجه به پراکندگی بسیار زیاد الگوهای ممکن است شبکه عصبی، خروجی مطلوب را تأمین نکند. به عبارت دیگر، یک شبکه مشخص، برای الگوهای یک دسته موتور، با قدرت مشخص، آموزش داده می‌شود و نیازی به وارد کردن قدرت موتورها به عنوان یک ورودی نیست.

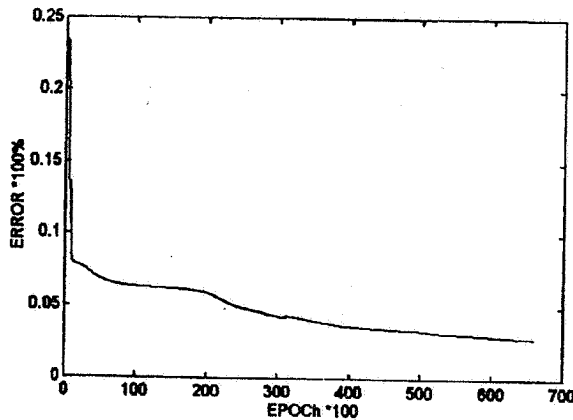
۱-۴- آموزش شبکه عصبی

رونده آموزش در قالب یک مثال توضیح داده می‌شود: در قدرت یک اسب بخار، تعداد ۵۵ موتور از کارخانه‌های مختلف انتخاب شد. لیست داده‌های این موتورها در جدول (۲) آورده شده است.

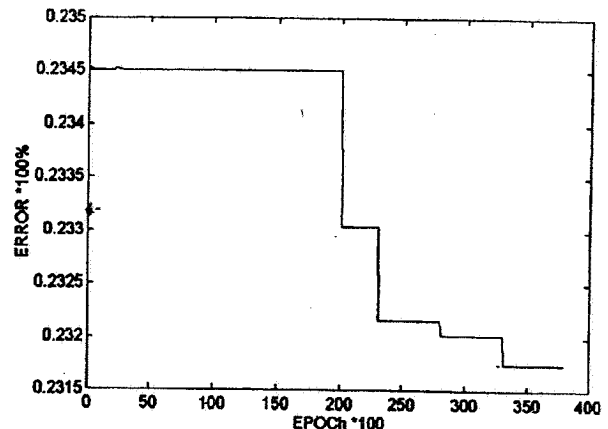
اطلاعات ۵۵ موتور یاد شده به نحوی مرتب شده که برای هر موتور، ولتاژ، لغزش، بازده و ضریب قدرت به عنوان ورودی شبکه عصبی و جریان راهاندازی و نسبت گشتاور راهاندازی به گشتاور نامی به عنوان خروجی شبکه عصبی در نظر گرفته شود، شکل (۲). به لحاظ اینکه خروجیها، خروجی تابع سیگموئید هستند،

جدول ۲ - داده های ۵۵ موتور القایی سه فاز در قدرت یک اسب بخار [۱۵]

I _{start}	T _{s/T_n}	ضریب قدرت	راندمان	لغزش	V _s	سازنده
۷/۶	۱/۷۲	۰/۶۵	۰/۶۸	۰/۰۵۵۶	۴۶۰	Baldor
۷/۰	۱/۸۰	۰/۶۰	۰/۶۰	۰/۰۵۰۶	۴۶۰	Brook Crompton
۱۰/۰	۱/۷۸	۰/۹۰۹	۰/۸۰	۰/۰۱۶۷	۴۶۰	G. E.
۸/۴	۲/۰۳	۰/۶۳	۰/۷۴	۰/۰۵۰۶	۴۶۰	Leeson
۹/۲	۱/۸۳۶	۰/۰۸۱	۰/۶۴	۰/۰۴۴۴	۴۶۰	US Motors
۹/۸	۱/۸۲۵	۰/۶۲۱	۰/۷۴	۰/۰۳۸۹	۵۷۵	Teco
۰/۶	۱/۸۰	۰/۶۰	۰/۶۵	۰/۰۵۰۶	۵۷۵	Brook Crompton
۱۲/۰	۱/۷۸	۰/۰۹۶	۰/۸۰	۰/۰۱۶۷	۵۷۵	G. E.
۷/۸	۱/۸۰	۰/۹۲۱	۰/۷۴	۰/۰۳۸۹	۴۶۰	Teco
۸/۰	۲/۲۲	۰/۶۹	۰/۷۰۰	۰/۰۰۰	۲۰۰	Baldor
۱۸/۶	۲/۰۶	۰/۶۴	۰/۸۲	۰/۰۵۸۳	۴۶۰	Brook Crompton
۱۱/۱	۲/۶۹	۰/۶۰	۰/۷۰۰	۰/۰۳۷۵	۴۶۰	Dayton
۱۰/۰	۲/۳۹	۰/۶۹	۰/۷۷	۰/۰۵	۴۶۰	Leeson
۱۱/۰	۲/۴۹	۰/۶۰۷	۰/۷۷۵	۰/۰۵	۴۶۰	Maraton
۱۰/۷	۲/۵۶	۰/۶۲	۰/۷۷	۰/۰۵	۴۶۰	Maraton
۹/۹	۲/۳۴	۰/۰۸	۰/۷۴	۰/۰۴۰۸	۴۶۰	Reliance
۱۱/۵	۳/۰۸	۰/۶۸	۰/۸۲۵	۰/۰۵	۴۶۰	Tatung
۱۰/۰	۱/۷۰	۰/۶۰	۰/۸۰۰	۰/۰۴۱۷	۴۶۰	Teco
۲۷/۶	۲/۸۳	۰/۶۳	۰/۸۲۵	۰/۰۴۱۷	۲۰۰	Toshiba
۱۱/۱	۲/۶۹	۰/۶۰	۰/۷۷	۰/۰۳۷۵	۴۶۰	US Motors
۱۰/۰	۲/۶۱	۰/۶۸۰	۰/۸۰۰	۰/۰۴۱۷	۴۶۰	Westinghouse
۸/۰	۲/۲۲	۰/۶۹	۰/۷۰۰	۰/۰۵	۴۶۰	Baldor
۸/۱	۲/۰۶	۰/۶۴	۰/۸۲	۰/۰۵۸۳	۴۶۰	Brook Crompton
۱۱/۱	۲/۶۹	۰/۶۰	۰/۷۰۰	۰/۰۳۷۵	۴۶۰	Dayton
۱۰/۰	۲/۳۹	۰/۶۹	۰/۷۷	۰/۰۵	۴۶۰	Leeson
۹/۰	۲/۰۸۷	۰/۶۶	۰/۸۲۵	۰/۰۴۰۸	۴۶۰	Magne Tek
۱۰/۰	۱/۷۱	۰/۶۰	۰/۷۰۰	۰/۰۳۳۳	۴۶۰	Westinghouse
۹/۰	۲/۲۲	۰/۶۹	۰/۷۰۰	۰/۰۵	۴۶۰	Baldor
۱۰/۰	۲/۳۹	۰/۶۲۲	۰/۸۲۵	۰/۰۴۱۷	۴۶۰	Dayton
۱۰/۰	۱/۷۱	۰/۶۰	۰/۷۰۰	۰/۰۳۳۳	۴۶۰	Westinghouse
۱۰/۰	۲/۰۸۷	۰/۶۶	۰/۸۲۵	۰/۰۴۰۸	۴۶۰	US Morots
۹/۰	۲/۰۷۱	۰/۶۰	۰/۷۰۰	۰/۰۳۳۳	۴۶۰	Teco
۱۰/۰	۱/۷۱	۰/۶۰	۰/۷۰۰	۰/۰۳۳۳	۴۶۰	Brook Crompton
۹/۰	۲/۸۲۶	۰/۶۳	۰/۸۲۵	۰/۰۴۱۷	۵۷۵	Teco
۸/۰	۲/۹۵	۰/۶۰۰	۰/۸۲۵	۰/۰۳۷۵	۵۷۵	US Motors
۲۸/۸	۲/۹۳	۰/۶۹	۰/۸۲۵	۰/۰۴۴	۲۰۰	Brook Crompton
۱۱/۰	۳/۳۶۷	۰/۷۴	۰/۷۷	۰/۰۴۱۷	۴۶۰	Baldor
۱۱/۰	۴/۴۳۳	۰/۷۷۸	۰/۸۶۵	۰/۰۳۳۳	۴۶۰	Dayton
۱۱/۰	۲/۲۷	۰/۷۱	۰/۷۸	۰/۰۴۱۷	۴۶۰	Leeson
۱۲/۰	۲/۴۰	۰/۶۸۴	۰/۷۷	۰/۰۳۸۹	۴۶۰	Maraton
۱۹/۰	۲/۷۲	۰/۷۹۳	۰/۸۴۱	۰/۰۳۷۲	۴۶۰	Reliance
۱۰/۰	۲/۷۱	۰/۷۷	۰/۸۴	۰/۰۵	۴۶۰	Tatung
۱۰/۰	۲/۰۷۷	۰/۷۷	۰/۸۶۰	۰/۰۳۰۶	۴۶۰	Teco
۲۰/۲	۲/۳۷	۰/۷۹	۰/۸۰۰	۰/۲۷۸	۲۰۰	Toshiba
۱۰/۲	۴/۱۰	۰/۶۴۹	۰/۸۱۵	۰/۰۲۲۲	۴۶۰	US Motors
۱۰/۰	۲/۱۰	۰/۷۷	۰/۸۶۵	۰/۰۳۰۶	۴۶۰	Westinghouse
۸/۸	۳/۳۶۷	۰/۷۹	۰/۸۰۰	۰/۰۲۷۸	۵۷۵	Toshiba
۱۲/۰	۳/۱۰	۰/۷۷	۰/۸۶۵	۰/۰۳۰۶	۵۷۵	Teco
۱۱/۰	۳/۶۶۷	۰/۷۶	۰/۷۰۰	۰/۰۴۱۷	۴۶۰	Baldor
۹/۰	۲/۲۶۷	۰/۷۶	۰/۷۷۱	۰/۰۴۱۷	۴۶۰	Leeson
۲۰/۰	۲/۰۲۳	۰/۷۷	۰/۷۸	۰/۰۵	۲۰۰	Brook Crompton
۲۳/۷	۲/۸۷	۰/۷۴	۰/۷۷	۰/۰۴۱۷	۲۰۰	Baldor
۲۸/۸	۲/۸۴	۰/۶۹	۰/۸۰۸	۰/۰۴۴۴	۲۰۰	Brook Crompton
۲۷/۹	۲/۴۰	۰/۶۸۴	۰/۷۷	۰/۰۳۸۹	۲۰۰	Maraton



شکل ۴- تغییرات خطای شبکه عصبی بعد از نرمالیزه کردن داده‌ها



شکل ۳- تغییرات خطای شبکه عصبی

مختلف موتورها در اختیار شبکه قرار گیرد. بدین ترتیب به هر کارخانه سازنده یک کد مخصوص اختصاص داده شد. برای اینکه این کدها با دیگر مقادیر ورودی یکدست باشد و از طرفی میانگین و واریانس این کدها کوچک باشد به ۱۸ کارخانه سازنده، اعدادی بین $1/0$ تا $1/8$ اختصاص داده شد. مثلاً به کارخانه زیمنس کد $0/4$ تعلق گرفت، شکل (۵). نتیجه آموزش در شکل (۶) به نمایش گذاشته شده است. میزان خطا در مقایسه با آموزش‌های قبل، به میزان قابل توجهی کمتر شده است. با تعداد ۱۶۵۰۰ epoch خطا تا حد $0/62$ درصد پایین آمده است و ماکریم خطا مربوط به الگوی شماره 46 به میزان $2/3$ درصد است، که مقادیری رضایت‌بخش است.

۴-۲- فراخوانی شبکه عصبی

برای حصول اطمینان از خوب عمل کردن آخرین شبکه تعلم دیده، دوباره از نرم‌افزار Motor Master⁺ [۱۵]، پنج موتور به عنوان شاهد انتخاب شد، به صورتی که قدرت خروجی آنها یک کیلووات باشد، ولی جزو الگوهای انتخاب شده در الگوهای آموزشی نباشد.

با استفاده از آخرین وزنهای به دست آمده در شبکه آموزش دیده با الگوهای نهایی، خروجی‌های متناظر با پنج شاهد اخیر محاسبه شد. در جدول (۳) اطلاعات مربوط به پنج موتور اخیر (مقادیر حقیقی آنها)، خروجی‌های محاسبه شده توسط شبکه عصبی و میزان خطا مشاهده می‌شود.

عقب با دو لایه نهان و در هر لایه نهان، ۵ نرون است. تعداد الگو ۵۵ عدد است. تا epoch 38000 عمل آموزش صورت گرفته است که خطای نهایی به میزان $Error=23.17\%$ و ماکریم خطا مربوط به الگوی شماره 37 به میزان $57/3$ درصد است. روشن است که مقادیر خطای یاد شده به هیچ وجه رضایت‌بخش نیست.

به دنبال روشی برای کم کردن خطا، تفاوت زیاد اعداد در نرونها و ورودی، عامل اصلی خطا تشخیص داده شد، چراکه در یک الگوی خاص، ورودی به نرون اول، ولتاژ است (مثلاً عدد $0/460$ ، ورودی به نرون دوم لغزش است (که عددی کوچکتر از $0/1$ است) و ورودی به نرونها سوم و چهارم، بین صفر و یک است. به همین دلیل داده‌های الگوها نرمالیزه شدند (مقادیر ولتاژ بر 1000 تقسیم و مقادیر لغزش در 10 ضرب شدند). حاصل تکرار آموزش شبکه قبل، با الگوهای جدید در شکل (۴) به نمایش گذاشته شده است. تعداد epoch 66100 صورت گرفته و خطا تا میزان $Error=2.84\%$ کم شده است. ماکریم خطا مربوط به الگوی شماره 46 به میزان $6/9$ درصد است. نسبت به حالت قبل خطا کمتر شده است ولی هنوز رضایت‌بخش نیست.

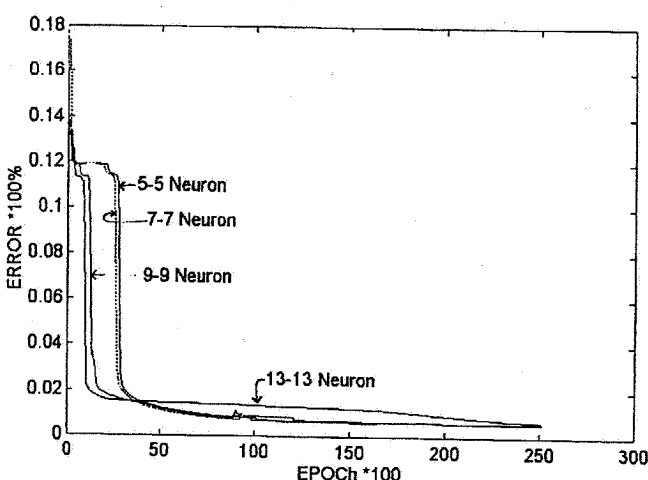
طبعیاً پراکندگی اطلاعات مربوط به الگوهای مختلف، باعث کم نشدن خطاست. هر کارخانه سازنده چند الگو در جمع الگوها وارد کرده است و به لحاظ اینکه تکنولوژی ساخت و طراحی و مواد به کار گرفته شده در هر کارخانه با کارخانه دیگر متفاوت است، مشخصات ظاهری و درونی موتورها هم، با یکدیگر متفاوت هستند. به هر صورت باید به شکلی اطلاعاتی در مورد دسته‌های

آموزش در نظر گرفته شود، به نظر می‌رسد تعداد ۵ نرون برای مثال بالا مناسب باشد. انجام آزمایش با دسته موتورهای دیگر، نتایج مشابهی به بار آورد که با توجه به حجم مطلب از ذکر جزئیات خودداری می‌شود.

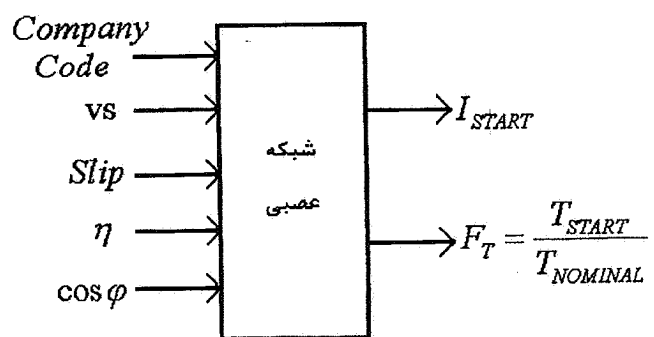
۵- مدل ترکیبی برای موتورهای القایی موجود روی یک شین

همان گونه که ذکر شد، موتورهای القایی حدود ۷۰ درصد بارهای صنعتی را تشکیل می‌دهند؛ لذا ارائه مدلی هرچه دقیقتر برای موتورهای القایی، منجر به مدلسازی بارهای روی یک شین با خطای کمتر خواهد شد. در بند ۳، جایگاه شبکه عصبی در تحقیق انجام شده، توضیح داده شد و در بخش (۴) چگونگی استفاده از شبکه عصبی و روند پیاده‌سازی آن نشان داده شد.

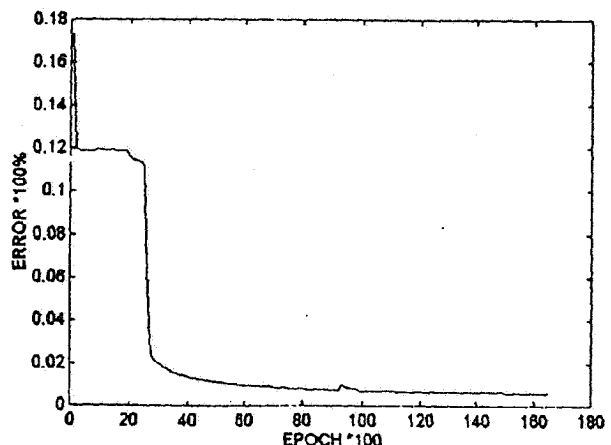
در این قسمت به تعیین ضریب حساسیت موتورهای القایی پرداخته می‌شود. روشن است که با استفاده از شبکه عصبی که در بخش (۴) توضیح داده شده می‌توان به پارامترهای الکتریکی مورد نیاز در تعیین ضریب حساسیت دست یافت. ابتدا روند محاسبه ضریب حساسیت موتورهای القایی توضیح داده خواهد شد [۱۰] و سپس با استفاده از توضیحات متدرج در بخش (۲)، مدل ترکیبی استاتیکی موتورهای القایی روی یک شین تعیین خواهد شد. روشن است از این مدل می‌توان در مدلسازی استاتیکی کل بارهای موجود روی یک شین (موتوری و غیرموتوری) استفاده کرد.



شکل ۷- خطای آموزش شبکه عصبی با تعداد متفاوت نرون لایه‌های میانی



شکل ۵- ورودیها و خروجیهای شبکه در حالت نهایی



شکل ۶- تغییرات خطای شبکه عصبی در حالت شبکه شکل (۵)

۴-۳- تغییر تعداد نرونها لایه نهان

به منظور بررسی تأثیر تعداد نرون در دو لایه نهان بر میزان خطای در مرحله یادگیری و نیز میزان خطای در مرحله فراخوانی، روند آموزش بخش (۲-۴) با تعداد متفاوت نرون در لایه‌های نهان تکرار شد. با استفاده از همان ۵۵ الگوی یادگیری برای موتورهای یک اسب بخار، جدول (۲)، نتایج خطای یادگیری با ۵، ۷، ۹ و ۱۳ نرون در لایه‌های میانی در شکل (۷) آمده است. تعداد نرون در هر دو لایه میانی برابر در نظر گرفته شده است.

جدول (۴) بیانگر میزان خطای مد فراخوانی شبکه‌های ۹، ۷، ۵ و ۱۳ نرون در هر یک از لایه‌های میانی برای ۵ موتور (شاهد) موجود در جدول (۳) است.

روشن است که میزان خطای شبکه عصبی با ۵، ۷ و ۹ نرون در حدود هم‌یگرند ولی با افزایش تعداد نرون میزان میانگین خطای در شبکه عصبی با ۱۳ نرون، افزایش یافته است. در صورتی که زمان

جدول ۳- اطلاعات ۵ موتور شاهد از نرم افزار Motor Master⁺ و خروجی های محاسبه شده توسط شبکه عصبی و درصد خطای

شماره موتور	اسب بخار	کارخانه سازنده	ولتاژ	سرعت (rpm)	بازده	ضریب توان	گشتاور راه اندازی به گشتاور نامی	جریان راه اندازی (آمپر)
۱	۱	Marathon	۴۶۰/۲۳۰	۸۵۰	۰/۷۲	۰/۹۲	۱/۹۳۵	۸/۰
۲	۱	Baldor	۴۶۰	۱۱۴۰	۰/۸۰۵	۰/۷۱	۲/۹۳	۱۰/۵
۳	۱	Dyton	۴۶۰/۲۳۰	۱۱۵۰	۰/۸۱۵	۰/۶۲۴	۲/۹۳	۱۰/۷
۴	۱	Baldor	۴۶۰/۲۳۰	۳۴۵۰	۰/۷۰۵	۰/۷۶	۳/۶	۱۱/۰
۵	۱	Toshiba	۵۷۵	۱۷۵۰	۰/۸۰۵	۰/۷۹	۳/۳۷	۸/۸

شماره موتور	گشتاور نامی محاسبه شده	نسبت گشتاور راه اندازی به گشتاور نامی محاسبه شده	جریان راه اندازی به شده	درصد خطای گشتاور راه اندازی محاسبه شده	درصد خطای گشتاور راه اندازی به	درصد خطای جریان راه اندازی
۱	۱/۹۳۸۵	۷/۹۸۶	۰/۱۸۱	۰/۱۷۵	۰/۱۸۱	۰/۱۷۵
۲	۲/۹۶۲	۱۰/۴۷۹	۱/۰۹۲	۰/۲	۱/۰۹۲	۰/۳۲۷
۳	۲/۹۵۲۵	۱۰/۶۶۵	۲/۲۵	۰/۵۸۲	۲/۱۶۷	۰/۵۸۲
۴	۳/۵۲۲	۱۱/۰۶۴	۲/۱۶۷	۰/۹۰۹۱	۰/۴۱۵	۰/۹۰۹۱
۵	۳/۳۵۶	۸/۸۸	۰/۴۱۵			

جدول ۴- میزان خطای مدد فراخوانی شبکه های عصبی با تعداد نرون متفاوت در لایه های میانی (در هر شبکه عصبی تعداد نرون لایه های میانی برابر در نظر گرفته شده است)

$$\%F_T = \text{درصد خطای گشتاور راه اندازی به گشتاور نامی}$$

$$\%Error = \text{درصد خطای جریان راه اندازی}$$

$$\%Error Istart = \text{درصد خطای جریان راه اندازی}$$

شماره موتور	نرون ۵	نرون ۷	نرون ۹	نرون ۱۳
شماره موتور	%Error Istart	%Error Istart	%Error Istart	%Error Istart
۱	۰/۲۶	۰/۴۹	۰/۹۰	۰/۴۹
۲	۱/۱۳	۰/۲۰	۰/۹۶	۰/۲۹
۳	۰/۸۴	۰/۱۴	۰/۷۸	۰/۲۷
۴	۰/۶۰	۰/۱۹	۰/۴۰	۰/۱۱
۵	۰/۱۳	۰/۶۵	۰/۰۴	۰/۱۸
میانگین خطای	٪۰/۴۶۳	٪۰/۵۲۶	٪۰/۴۳۵	٪۱/۲

۱-۵- روند محاسبه ضریب حساسیت موتورهای القایی

با در نظر گرفتن مدار معادل بر فاز یک موتور القایی سه فاز،
ماطابق با شکل (۸) می توان نوشت:

$$Z_s = (R_s + jX_{ls}) + \left(jX_m \parallel \left[jX_{lr} + \frac{R_r}{s} \right] \right)$$

(۱۴)

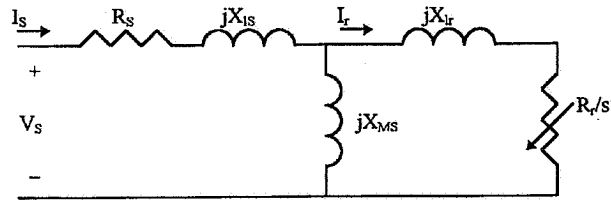
(P_{0i})، نسبت به توان مصرفی کل موتورها (P_0) است. با توجه به روند کلی که در مدلسازی استاتیکی بارها در بخش (۲) توضیح داده شد (و با توجه به اینکه P و Q در موتورهای القایی وابسته به فرکانس است)، مدل ترکیبی موتورهای موجود در جدول (۵) به صورت زیر تعیین می‌شود [۱۰]:

$$\begin{cases} P = P_0 \cdot V^{np} \cdot (1 + b_p \cdot \Delta f) \\ Q = Q_0 \cdot V^{nq} \cdot (1 + b_q \cdot \Delta f) \end{cases} \quad (20)$$

$$\begin{cases} n_p = 2.2508 \\ b_p = 1.4957 \\ Q_0 = 0.6629 \\ n_q = 1.6268 \\ b_q = 1.6922 \end{cases}$$

۶- مدل استاتیکی ترکیبی برای باریک شین صنعتی در قالب یک مثال به تعیین مدل استاتیکی ترکیبی برای باریک شین صنعتی می‌پردازیم. همچنان که گفته شد در کلاس بارهای صنعتی، بارهای گوناگونی از قبیل انواع تهווیه، اجاقها، روشنایی، موتورها و.... وجود دارد. اگر برای هر کدام از بارهای یاد شده، ضریب حساسیت، ضریب قدرت و ضریب مشارکت در اختیار باشد، طبق روند کلی که در بخش (۲) توضیح داده شد، می‌توان مدل استاتیکی ترکیبی را تعیین کرد. جدول (۶) نمایانگر مشخصات بارهایی است که به یک شین متصل هستند. روشن است که در نرمافزار تهیه شده، این قابلیت وجود دارد که بتوان مشخصات بارهای دیگری را که احیاناً جزو بارهای موجود در جدول (۶) نیستند، وارد کرد.

در جدول بالا $\frac{P_{0i}}{P_0}$ ضریب مشارکت هر جزء بار (میزان توان حقيقی آن جز به توان حقيقی کل مصرفی شین) است. مدل ترکیبی استاتیکی بارهای موجود در جدول (۶) به صورت زیر است:



شکل ۸- مدار معادل بر فاز یک موتور القایی سه فاز

$$Z = R_{eq} + jX_{eq} \quad (15)$$

با در نظر داشتن معادله زیر:

$$S = V_s \cdot I_s^* = V_s \cdot (V_s \cdot \frac{1}{Z})^* = |V_s|^2 \cdot \frac{1}{Z^*} \quad (16)$$

خواهیم داشت:

$$P + jQ = |V_s|^2 \cdot \frac{1}{R_{eq} - jX_{eq}} = \frac{|V_s|^2}{R_{eq}^2 + X_{eq}^2} \cdot (R_{eq} + jX_{eq}) \quad (17)$$

لذا:

$$\left\{ \begin{array}{l} P = \frac{|V_s|^2}{R_{eq}^2 + X_{eq}^2} \cdot R_{eq} \\ Q = \frac{|V_s|^2}{R_{eq}^2 + X_{eq}^2} \cdot X_{eq} \end{array} \right. \quad (18)$$

$$\left\{ \begin{array}{l} P = \frac{|V_s|^2}{R_{eq}^2 + X_{eq}^2} \cdot R_{eq} \\ Q = \frac{|V_s|^2}{R_{eq}^2 + X_{eq}^2} \cdot X_{eq} \end{array} \right. \quad (19)$$

بدین ترتیب، مشتق P و Q نسبت به $|V_s|$ ، ضرایب حساسیت توان حقيقی و راکتیو نسبت به ولتاژ را به دست می‌دهد. برای محاسبه ضریب حساسیت توان حقيقی و راکتیو نسبت به فرکانس از مشتق‌گیری عددی استفاده شده است. نتایج بحث بالا در بخش (۲-۵) در قالب یک مثال نشان داده شده است.

۲-۵- یک مثال از مدل ترکیبی موتورهای القایی

جدول (۵) پارامترهای الکتریکی ۵ موتور القایی را در مبنای واحد نشان می‌دهد. ضریب حساسیت، ضریب قدرت و مشارکت این موتورها نیز در جدول (۵) آورده شده است. منظور از ضریب مشارکت برای هر موتور، میزان مصرف توان حقيقی آن موتور

جدول ۵- پارامترهای الکتریکی، ضریب حساسیت، قدرت و مشارکت ۵ موتور القابی

Rs (p.u.)	Xls (p.u.)	Xms (p.u.)	Rr (p.u.)	Xlr (p.u.)
۰/۱۱۰	۰/۱۴۰	۲/۸۰	۰/۱۱۰	۰/۰۶۵
۰/۱۱۰	۰/۱۲۰	۲/۰۰	۰/۱۱۰	۰/۱۳۰
۰/۱۲۰	۰/۱۵۰	۱/۹۰	۰/۱۳۰	۰/۱۴۰
۰/۰۳۱	۰/۱۰۰	۳/۲۰	۰/۰۱۸	۰/۱۸۰
۰/۰۱۳	۰/۰۶۷	۳/۸۰	۰/۰۰۹	۰/۰۱۷

cosφ	np1	nq	bp	bq	P0i/P0
۰/۸۷	۲/۳۱۱۴۵۰۳	۱/۳۰۹۱۹۷	۱/۴۲۹۸۲۵	۰/۸۶۰۷۸۱	۰/۲۰۶۷
۰/۷۹	۲/۳۳۷۸۶۲	۱/۷۸۷۵۴۷	۱/۵۸۰۶۸۶	۱/۳۹۴۱۰۵	۰/۲۰۸۸
۰/۷۴	۲/۴۴۳۵۲۸	۲/۱۸۱۰۰۷	۲/۲۱۳۳۵۹	۱/۴۰۷۹۹۲	۰/۲۱۸۲
۰/۸۴	۲/۰۷۳۲۹۲	۱/۳۱۲۶۶۲	۱/۰۸۵۹۵۹	۰/۹۸۳۲۰۵	۰/۱۸۵۲
۰/۹۴	۲/۰۲۶۹۰۷	۰/۶۹۴۷۶۹	۱/۰۲۷۳۲۸	۰/۰۱۳۵۱۲	۰/۱۸۱۰

جدول ۶- مشخصات بارها و ضرایب مشارکت آنها

P0i/P0	∂Q/∂f	∂P/∂f	∂Q/∂V	∂P/∂V	cosφ	جزء بار
۰/۰۱	-۰/۶۲۴	۰/۸۶۹	۱/۱۸۵	۰/۰۷۸۳	۰/۸۸۲۴	تهویه سه فاز
۰/۰۱	-۰/۶۲۴	۰/۸۶۹	۰/۵۳۸	۰/۱۹۴۳	۰/۹۷۱۸	تهویه تک فاز
۰/۱۰	-۱/۶۰۴	۰/۴۶۶	۱/۴۰۷	۰/۳۸۷۱	۰/۸۲۳۲	تهویه پنجره‌ای
۰/۰۵	-۰/۱۷۰۱	۰/۵۰۸	۰/۳۴۹	۱/۵۵۳	۰/۹۸۹۳	داكت هیتر
۰/۳۰	۰/۰	۰/۰	۰/۰	۲/۰	۱	آبگرمکن، اجاق
۰/۰۵	-۰/۳۴۲	۰/۰	۰/۴۲۵	۲/۰۲	۰/۹۹۱۶	لباس خشککن
۰/۲	۰/۸۹۹	۰/۴۱۸	۱/۰۴	۰/۶۰۶	۰/۷۸۷۸	یخچال و فریزر
۰/۱۷	۰/۰	۰/۰	۰/۰	۱/۵۵۲	۱	لامپ رشته‌ای
۰/۱۱	-۱/۵۲	۰/۹۹۷۹	۰/۴۲۱۳	۰/۹۰۹۷	۰/۹۹۸۴	لامپ فلورست
؟	؟	؟	؟	؟	؟	بارهای دیگر

$$\begin{cases} P_{a1} = 0.5300 \\ np_1 = 0.8441 \\ b_p = 0.5335 \\ P_{a2} = 0.4700 \\ np_2 = 1.8380 \\ Q_a = 0.2532 \\ nq = 1.3958 \\ b_q = -1.0623 \end{cases}$$

Bus Load Model:

$$\begin{cases} \frac{P}{P_0} = P_{a1} \cdot V^{np1} \cdot (1 + b_p \cdot \Delta f) + P_{a2} \cdot V^{np2} \\ \frac{Q}{Q_0} = Q_a \cdot V^{np} \cdot (1 + b_q \cdot \Delta f) \end{cases} \quad (21)$$

استفاده می شود. در تعیین مدل استاتیکی موتورهای القایی از برخی مشخصات نامی این موتورها استفاده می شود که عموماً توسط کارخانجات سازنده، در اختیار مصرف کنندگان قرار نمی گیرد. در این مقاله روندی ارائه شد که با استفاده از شبکه های عصبی، اطلاعات نامی ناقص موتورهای القایی تکمیل شود و بدین ترتیب روند مدلسازی استاتیکی موتورهای القایی تکمیل شود. نتایج نشان داده شده، توانایی روش را ارائه داد.

۷- نتیجه گیری

با توجه به اینکه موتورهای القایی درصد بزرگی از بار سیستم قدرت را به خود اختصاص می دهند (حدود ۷۰ درصد)، تعیین یک مدل استاتیکی مناسب برای موتورهای القایی، دقت مدلسازی استاتیکی ترکیبی را بالا خواهد برد.

مدلسازی از طریق اندازه گیری، مشکل و پرهزینه و گاهی ناممکن است. اغلب از مدلسازی استاتیکی بر مبنای اجزای بار

مراجع

- EPRI Report, "Determining Load Characteristics for Transient Performances, Volume 1: Management Summary," EL-849, Final Report, May 1979.
- EPRI Report, "Determining Load Characteristics for Transient Performances, Volume 2: Testing and Modelling Load Components," EPRI Final Report, EL-849, May 1979.
- EPRI Report, "Determining Load Characteristics for Transient Performances, Volume 3: Procedure for Modelling Power System Loads," EL-849, Final Report, May 1979.
- EPRI Report, "Load Modelling for Power Flow and Transient Stability Computer Studies, Volume 1: Summery Report," EL-5003, January 1987.
- EPRI Report, "Load Modelling for Power Flow and Transient Stability Computer Studies, Volume 2: Load-Modelling Reference Manual", EPRI Final Report EL-5003, Volume 2, January 1987.
- EPRI Report, "Load Modelling for Power Flow and Transient Stability Computer Studies, Volume 3: LOADSYN Code Users Manual," EL-5003-CCM, RP 849-7, Jan 1987.
- EPRI Report, "Load Modelling for Power Flow and Transient Stability Computer Studies, Volume 4: LOADSYN Code Program Reference Manual," EL-5003-CCM, January 1987.
- Price, W.W., et al, "Load Modelling for Power Flow and Transient Stability Computer Studies," *IEEE Trans. on Power Systems*, Vol. 3, No. 1, Feb, 1988.
- IEEE Task Force on Load Representation for Dynamic Performance, "Bibliography on Load Models for Power Flow And Dynamic Performance Simulation," *IEEE Trans. on Power Systems*, Vol. 10, No. 1, February 1995.
- Rogers, G.J., Dimanno, J., and Alden, R.T.G., "An Aggregate Induction Motor Model for Industrial Plants," *IEEE Trans. on Power Appar. and Sys.*, Vol. PAS-103, No. 4, pp. 683-689, April 1984.
- Dayhoff, J., *Neural Network Architectures, An Introduction*, Van Nostrand Reinhold, 1990.
- Wasserman, P.D., *Neural Computing Theory and Practice*, Van Nostrand Reinhold, 1989.
- Kosko, B., *Neural Networks and Fuzzy Systems, a Dynamical Systems Approach to Machine Intelligence*, Prentice Hall, 1992.
- Vemori, V., *Artifical Neural Networks: Theoretical Concepts*, IEEE Computer Society Press, 1990.
- Motor Master+, Version 1.0, Gilbert A. McCoy, Bruce Whitney, Developed for the U.S. Department of Energy by the Washington State Energy Office, 1995 WSEO.